

非線形不規則波を対象とした自由波制御型の造波理論

大山巧*・土田充**

1. はじめに

著者らは、前報(大山・土田, 1997)において、鉛直振動流方式の造波装置(合田, 1964)を用いた非線形不規則波の造波法を提案した。この方式の造波装置は、ピストン型やフラップ型造波装置とは異なり、非線形領域の不規則波に対しても実用上十分な反射波吸収効果が期待できる点に最大の特長がある。

弱非線形波動理論に基づく波動場を水路内に形成させるためには、まず線形理論に基づく造波の際に発生する寄生自由波の特性を予め求めておき、この寄生自由波を相殺する制御自由波を基本波動成分とともに造波せねばよい。前報(大山・土田, 1997)では、寄生自由波が拘束波と同振幅、造波位置で逆位相を持つという長波近似を用いた。しかしながら、厳密には、拘束波に対する寄生自由波の振幅比と位相差は周波数依存性を有しているため(例えば合田・賀川, 1997)、広帯域スペクトルを有する一般的な不規則波に対して自由波制御を行うためには、これらの周波数特性を考慮する必要がある。

ピストン型やフラップ型造波装置に対する非線形不規則波の自由波制御理論については、差の周波数成分(長周期成分)に関する Barthel et al. (1983), Sand·Donslund (1985), 池野・田中(1995)の研究、和の周波数成分(高調波成分)に関する Sand·Mansard (1986)の研究がある。

本研究では、鉛直振動流方式の造波装置を対象に、和と差の周波数を持つ寄生自由波の振幅・位相特性を理論的に求めることにより、非線形不規則波を対象とした自由波制御型の造波法を提案し、実験水路を用いて本造波理論の検証を行う。

2. 非線形不規則波の自由波制御型造波法

(1) 問題の定義

2次オーダー・ポテンシャル理論に基づいて、2次元水路の底に設けた造波孔(縦溝孔)で鉛直振動流を与えることにより形成される波動場を考える。ただし、図-1に

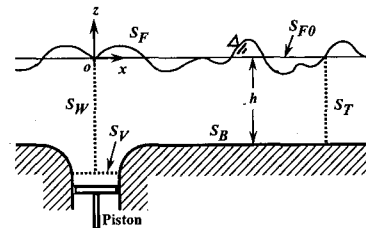


図-1 座標系と記号の定義

示すように、水路は造波孔の中心位置($x=0$)に対して対称形とし、鉛直振動流は造波孔内に設けたピストンの鉛直運動により発生するものとする。ピストン変位 D 、水面変動量 η 、速度ポテンシャル ϕ を1次および2次オーダー量の和として、次のように表す。

$$\left. \begin{aligned} D(t) &= D^{(1)}(t) + D^{(2)}(t) \\ \eta(x, t) &= \eta^{(1)}(x, t) + \eta^{(2)}(x, t) \\ \phi(x, z, t) &= \phi^{(1)}(x, z, t) + \phi^{(2)}(x, z, t) \end{aligned} \right\} \dots (1)$$

まず、1次オーダーの水面変動量 $\eta^{(1)}$ 、速度ポテンシャル $\phi^{(1)}$ およびピストン変位 $D^{(1)}$ を M 個の周波数成分の和として以下のように与える。

$$\eta^{(1)} = \frac{1}{2} \sum_{m=1}^M [(\zeta_m^{(1)}(x) e^{i\omega_m t}) + *] \dots (2)$$

$$\phi^{(1)} = \frac{1}{2} \sum_{m=1}^M [(\varphi_m^{(1)}(x, z) e^{i\omega_m t}) + *] \dots (3)$$

$$D^{(1)} = \frac{1}{2} \sum_{m=1}^M [(d_m^{(1)} e^{i\omega_m t}) + *] \dots (4)$$

ただし、 ω_m は成分波の角振動数、 $\zeta_m^{(1)}$ 、 $\varphi_m^{(1)}$ 、 $d_m^{(1)}$ は各成分の複素振幅、 $\{ \} + *$ の*は $\{ \}$ の複素共役を表す。

2次オーダー量は、1次オーダー成分間の和と差の周波数成分から構成されるものとして、次のように表す。

$$\begin{aligned} \eta^{(2)} &= \zeta_0^{(2)}(x) + \frac{1}{2} \sum_{m=1}^M \sum_{l=m}^M [(\zeta_{ml+}^{(2)}(x) e^{i(\omega_m + \omega_l)t}) + *] \\ &\quad + \frac{1}{2} \sum_{m=1}^M \sum_{l=m+1}^M [(\zeta_{ml-}^{(2)}(x) e^{i(\omega_m - \omega_l)t}) + *] \end{aligned} \dots (5)$$

$$\phi^{(2)} = \varphi_0^{(2)}(x, z)$$

$$+ \frac{1}{2} \sum_{m=1}^M \sum_{l=m}^M [(\varphi_{ml+}^{(2)}(x, z) e^{i(\omega_m + \omega_l)t}) + *]$$

* 正会員 工博 清水建設(株)技術研究所 計画技術開発部

** 正会員 工修 清水建設(株)エンジニアリング本部 企画部

ら, S_w , S_{F0} , S_v , S_B , S_T で囲まれた領域にグリーンの公式を適用する。

まず, 1次オーダーでは, 境界条件式(10), (11), (12), (15)をグリーンの公式に代入することにより, 以下の境界積分方程式を得る。

$$\begin{aligned} a^*(P)\varphi_m^{(1)}(P) + \int_{S_w \cup S_{F0} \cup S_v \cup S_B} \varphi_m^{(1)} \frac{\partial G}{\partial n} ds \\ + e^{-ik_m x_T} A_m^{(1)} \int_{S_T} \frac{\cosh k_m(h+z)}{\cosh k_m h} \left\{ \frac{\partial G}{\partial n} + ik_m G \right\} ds \\ - \frac{\omega_m^2}{g} \int_{S_{F0}} \varphi_m^{(1)} G ds = -i\omega_m d_m^{(1)} \int_{S_v} G ds \quad (24) \end{aligned}$$

$$G = -\ln r \quad (25)$$

ここで, $\varphi_m^{(1)}(P)$ は境界線上の点 P における $\varphi_m^{(1)}$, $a^*(P)$ は点 P の両側の境界線がなす内角, r は点 P と各境界上の点までの距離を表す。式(24)を数値的に解くことにより, S_T を除く境界面上での $\varphi_m^{(1)}$ および開境界での未定係数 $A_m^{(1)}$ が求められる。

2次オーダーのポテンシャル関数 $\varphi_{m\pm}^{(2)}$ についても同様に, 境界条件式 (10), (11), (13), (17) を考慮すれば, 以下の境界積分方程式が導かれる。

$$\begin{aligned} a^*(P)\varphi_{m\pm}^{(2)}(P) + \int_{S_w \cup S_{F0} \cup S_v \cup S_B} \varphi_{m\pm}^{(2)} \frac{\partial G}{\partial n} ds \\ + e^{-ik_{m\pm}^{(2)} x_T} A_{m\pm}^{(2)} \int_{S_T} \frac{\cosh k_{m\pm}^{(2)}(h+z)}{\cosh k_{m\pm}^{(2)} h} \left\{ \frac{\partial G}{\partial n} + ik_{m\pm}^{(2)} G \right\} ds \\ - \frac{(\omega_m \pm \omega_l)^2}{g} \int_{S_{F0}} \varphi_{m\pm}^{(2)} G ds = -i(\omega_m \pm \omega_l) d_{m\pm}^{(2)} \int_{S_v} G ds \\ + \int_{S_{F0}} \beta_{m\pm} G ds - a_{m\pm} e^{-i(k_m \pm k_l)x_T} \\ \times \int_{S_T} \frac{\cosh(k_m \pm k_l)(h+z)}{\cosh(k_m \pm k_l) h} \left\{ \frac{\partial G}{\partial n} + i(k_m \pm k_l) G \right\} ds \quad (26) \end{aligned}$$

1次オーダー計算で求められた $\varphi_m^{(1)}$, $A_m^{(1)}$ を式(26)の $a_{m\pm}$, $\beta_{m\pm}$ に代入することにより, S_T を除く境界面上での $\varphi_{m\pm}^{(2)}$ および $A_{m\pm}^{(2)}$ が求められる。なお, 開境界外部でのポテンシャルについても $A_m^{(1)}$ と $A_{m\pm}^{(2)}$ を用いて式(15)と式(17)から計算できる。

(4) 制御自由波の造波法

所与のスペクトルに対して不規則波を発生させるためには, まず, 対象とする全周波数帯域で自由波の造波効率を求めておく必要がある。式(15)を式(20)に代入すると, 進行波成分のみによる水面変動振幅 $\zeta_m^{(1)}$ が次のように表される。

$$\zeta_m^{(1)}(x) = -\frac{i\omega_m}{g} A_m^{(1)} e^{-ik_m x} \quad (27)$$

ここでは, 便宜上, $x=0$ における $\zeta_m^{(1)}$ をピストン振幅 $d_m^{(1)}$ で除したものを複素造波効率 $E(\omega_m)$ として定義しておく。すなわち,

$$E(\omega_m) = -\frac{i\omega_m}{g} \frac{A_m^{(1)}}{d_m^{(1)}} \quad (28)$$

このように造波効率を複素数で表すことにより, ピストン運動と水面波形の位相差についても造波効率の情報に含めておくことができる。

次に, この造波効率を用いて, 与えられた1次オーダー成分波のスペクトルに対応した1次オーダーのピストン変位 $d_m^{(1)}$ ($m=1, \dots, M$) を求めておき, それを入力として上記の境界積分方程式法による非線形波動場の解析を行う。その際に, 2次オーダーのピストン変位 $d_m^{(2)}$ を0としておけば, 寄生自由波成分のポテンシャル振幅 $A_{m\pm}^{(2)}$ が計算できる。この寄生自由波成分を相殺するための制御自由波成分のポテンシャル振幅が $-A_{m\pm}^{(2)}$ となればよいわけであるから, 制御自由波成分を発生させるための造波信号 $d_{m\pm}^{(2)}$ は結局以下のように与えられる。

$$d_{m\pm}^{(2)} = -\frac{i(\omega_m \pm \omega_l)}{g} \frac{A_{m\pm}^{(2)}}{E(\omega_m \pm \omega_l)} \quad (29)$$

式(29)で示される2次オーダーのピストン変位を用いて波動場を再計算すれば, 開境界における自由波成分の振幅 $A_{m\pm}^{(2)}$ が0となっていることが確認できる。

3. 造波実験による検証

(1) 実験水路

図-2に示される実験水路を用いて, 本造波理論の検証を行った。水路の幅は40cmであり, ピストン部の形状は前報(大山・土田, 1997)と同様である。水深 h は30cm, 造波孔開口幅は15cmで一定とし, 開口部の形状は剥離渦の影響をできるだけ抑えるために図-2に示すようなノズル形とした。

実験では, 自由波制御を行うケースと行わないケース(線形造波理論を用いる場合)に対して, 規則波, 2成分波(1次オーダー成分の数が2)および多成分不規則波を造波した。

(2) 規則波に対する比較

ここではまず, 線形理論に基づいて規則波を造波させた場合に発生する寄生自由波の特性に関して, 本理論による結果を示す。図-3は, 寄生自由波の振幅 a_F と拘束波の振幅 a_B の比, および造波孔中心位置($x=0$)におけるこれらの位相差 $\Delta\epsilon$ の周波数特性を示したものである。ただし, 横軸の ω は1次オーダー成分の角振動数であり, 寄生自由波と拘束波の角振動数は 2ω である。

$\omega \rightarrow 0$ の長波領域では, 前報で仮定したように, 寄生自由波は拘束波と同振幅で逆位相を有している。このような長波領域での寄生自由波の特性は, ピストン型造波装置でも同様である(合田・賀川, 1997)。振幅比 a_F/a_B は $\omega^2 h/g = 0.55$ で最大となり, この周波数では拘束波よりも40%程度振幅の大きな寄生自由波が発生する。しか

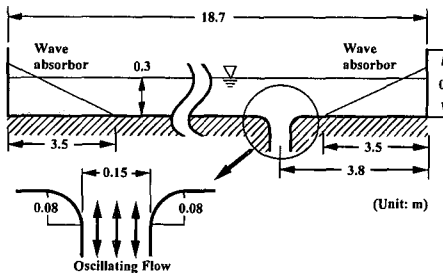


図-2 実験水路の形状

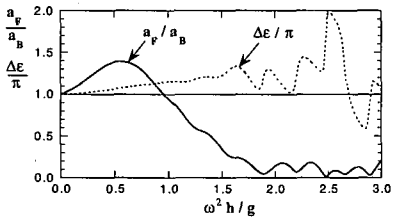
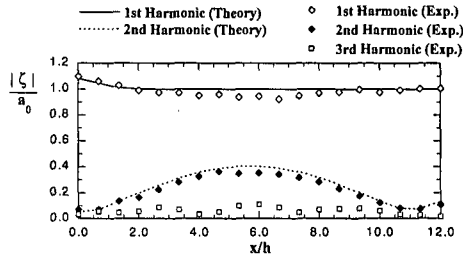


図-3 寄生自由波と拘束波の振幅比と位相差の周波数特性

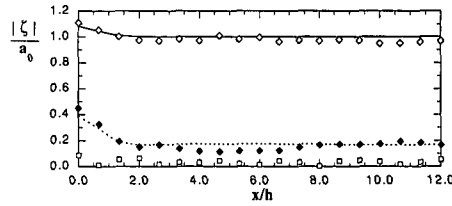
し、寄生自由波の位相は、この周波数近傍でも拘束波とほぼ逆位相となっており、上記の長波近似 $a_F/a_B=1$, $\Delta\epsilon/\pi=1$ を用いて制御自由波を発生したとしても、寄生自由波の振幅はある程度低減できる。

ω がさらに大きくなると a_F/a_B は減少し、寄生自由波の波長が造波孔開口幅と同程度のオーダーになる $\omega^2 h/g \geq 1.7$ では、 a_F は最大でも a_B の 20% 程度となる。また、位相差 $\Delta\epsilon$ の特性もかなり複雑になる。このような高周波数帯域で長波近似に基づく自由波制御を行うと、制御自由波によってむしろ波形が乱れてしまうことになる。

図-4 は、 a_F/a_B がほぼピークとなる $T=1.5$ s ($\omega^2 h/g = 0.54$) の規則波を造波した場合について、各周波数成分の振幅を実験値と解析結果で比較したものであり、(a) に自由波制御を行わなかったケース、(b) に自由波制御を行ったケースの結果を示している。図中、 a_0 は造波信号を作成する際に用いた 1 次オーダー成分の振幅であり、この実験では $a_0=2.9$ cm ($a_0/h=0.098$) とした。これらの図に示されるように、自由波制御を行わなかったケースでは拘束波と寄生自由波の干涉により 2 倍周波数成分の振幅が空間的に変化するのに対して、本理論に基づく自由波制御を行うことにより、寄生自由波の発生が抑えられている。実験結果には 3 次オーダー以上の非線形効果も若干現れているが、基本周波数成分および 2 倍周波数成分に関する本解析結果との一致は良好である。図-4(b) に示されるように、この波浪条件における拘束波成分の無次元振幅は 0.17 である。これに対して、図-4(a) の $x/h=6.0$ における 2 倍周波数成分の最大無次元振幅 (計算値) は 0.40 であり、拘束波



(a) 自由波制御を行わなかった場合



(b) 自由波制御を行った場合

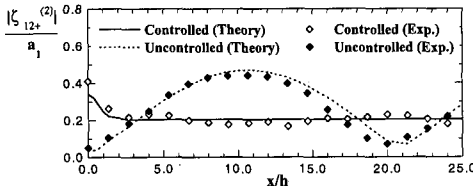
図-4 規則波造波時の各周波数成分の振幅分布
($\omega^2 h/g=0.54$, $a_0/h=0.098$)

振幅の 2 倍を上回っていることから寄生自由波が拘束波よりも大きな振幅を有していることがわかる。

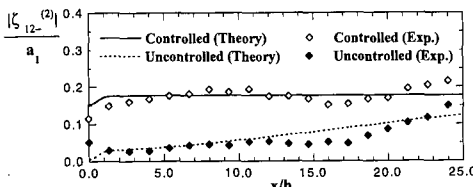
(3) 2 成分波および多成分不規則波の比較

図-5 は、 $\omega_1\sqrt{h/g}=0.687$, $\omega_2\sqrt{h/g}=0.534$, $a_1/h=a_2/h=0.043$ (ω_1 , ω_2 : 1 次オーダー成分の角振動数, a_1 , a_2 : 1 次オーダー成分の振幅) の 2 成分波造波時における和と差の周波数成分の振幅分布を示したものである。この場合、理論的に求められた寄生自由波と拘束波の振幅比は、和の波で 1.30, 差の波で 0.83 である。自由波制御を行わなかった場合の和の周波数成分 (図-5(a)) については、実験により得られたビート長が解析結果よりも若干短くなっているが、これは 3 次オーダー以上の非線形効果によるものと推測される (大山・灘岡, 1992)。また、差の成分に対する実験結果 (図-5(b)) には、波長の短い変動が現れているが、これは水路端部からの反射による部分重複波の影響と考えられる。ただし、規則波の場合と同様、2 成分波に対しても寄生自由波の発生が抑えられていることから、本理論により実用上十分な自由波制御が可能であることがわかる。

図-6 は、多成分不規則波のスペクトルに関して、実験結果と 2 次オーダー理論解を比較したものである。1 次オーダーの造波信号としては、 $T_{1/3}\sqrt{g/h}=10.3$, $H_{1/3}/h=0.2$ ($T_{1/3}$: 有義波周期, $H_{1/3}$: 有義波高) に対する Bretschneider 型のスペクトルを用いて、 $0.5f_p \leq f \leq 2.0f_p$ (f : 周波数, f_p : ピーク周波数) の周波数帯域で 50 成分を与えた。この場合、1 次オーダー成分波間の和と差の周波数を持つ制御自由波の周波数帯域は、 $0 < f \leq 4.0f_p$ となるが、本造波装置における造波効率上の問題から $0.2f_p \leq f$



(a) 和の周波数成分波の振幅



(b) 差の周波数成分波の振幅

図-5 2成分波造波時の和と差の周波数成分の振幅
($\omega_1\sqrt{h/g}=0.687$, $\omega_2\sqrt{h/g}=0.534$, $a_1/h=a_2/h=0.043$)

$\leq 2.0f_p$ の範囲の制御自由波のみを与えた。図-6に示されるように、自由波制御を行わなかった場合には $f/f_p < 0.6$ (f_p : ピーク周波数) の長周期帯域でスペクトル値がかなり小さく、また短周期帯域 ($f/f_p > 1.6$) でも理論解とずれているのに対して、自由波制御を行ったケースでは水路両端からの反射の影響が現れる $f/f_p \leq 0.6$ を除いた広い周期帯域で理論解と一致していることから、本造波法が一般的な不規則波に対しても十分に有効であることがわかる。

図-7は、不規則波中に含まれる長周期成分 ($0.3 \leq f/f_p \leq 0.6$) の波形を比較したものである。自由波制御を行うことにより、非線形不規則波理論に基づく長周期波が水路内で精度良く再現されている。このことは、不規則波中の大型浮体の長周期動揺などの実験を行う際に、本造波理論が非常に有効であることを示している。

5. おわりに

1次オーダー理論に基づいて不規則波を造波する際の寄生自由波成分の振幅と位相を理論的に求め、これを相殺する2次オーダーの制御自由波成分を発生させることにより、非線形不規則波理論に基づく波動場を実験水路内に形成させることができた。前報では、寄生自由波が拘束波と同振幅であるという長波仮定を用いてい

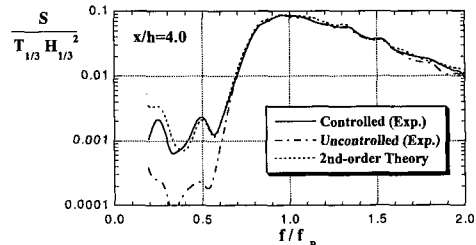


図-6 多成分不規則波のパワースペクトルの比較
($T_{1/3}\sqrt{g/h}=10.3$, $H_{1/3}/h=0.2$, $x/h=4.0$)

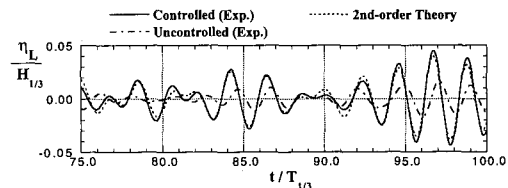


図-7 不規則波中の長周期成分波 ($0.3 \leq f/f_p \leq 0.6$) の比較
($T_{1/3}\sqrt{g/h}=10.3$, $H_{1/3}/h=0.2$, $x/h=4.0$)

たが、本理論では寄生自由波の周波数特性が考慮されているため、より一般的な不規則波に適用できる。規則波、2成分波、広帯域不規則波に対する実験結果から、本造波理論が十分に妥当であることを検証した。

参考文献

- 池野正明・田中寛好 (1995): 自由長波制御により造波された波群長周期波の浅水・碎波変形と構造物による重複波の特性, 海岸工学論文集, 第42巻, pp. 156-160.
- 大山巧・灘岡和夫 (1992): 潜堤を通過する非線形波列の分裂現象の解析, 土木学会論文集, No. 450/II-20, pp. 31-40.
- 大山巧・土田充 (1997): 非線形波動場を対象とした自由波制御型無反射造波法, 海岸工学論文集, 第44巻, pp. 11-15.
- 合田良実 (1964): 鉛直振動流による造波の理論について, 第11回海岸工学講演会講演集, pp. 69-73.
- 合田良実・賀川真有 (1997): 造波水路内の波峰分裂メカニズムについて, 海岸工学論文集, 第44巻, pp. 6-10.
- Barthel, V., E. P. Mansard, S. E. Sand and F. C. Vis (1983): Group bounded long waves in physical models, Ocean Eng., Vol. 10, pp. 261-294.
- Sand, S. E. and B. Donslund (1985): Influence of wave board type on bounded long waves, J. Hydraulic Res., Vol. 23, pp. 147-163.
- Sand, S. E. and E. P. D. Mansard (1986): Reproduction of higher harmonics in irregular waves, Ocean Eng., Vol. 13, No. 1, pp. 57-83.